

UNIVERZITA KARLOVA V PRAZE  
Přírodovědecká fakulta  
Katedra biochemie

---



# VYUŽITÍ JEDNOPAPRSKOVÉHO SPEKTROFOTOMETRU MOM PRO NĚKTERÁ BIOCHEMICKÁ STANOVENÍ

*Bakalářská práce*

**Martina Kozáková**

**Školitel: doc. RNDr. Jiří Hudeček, CSc.**

**Bakalářské studium**

**Obor: Klinická a toxikologická analýza**

**Praha 2007**

Úvodem bych ráda poděkovala svému školiteli doc. RNDr. Jiřímu Hudečkovi, CSc. za odborné vedení, ochotu a pomoc při sepisování práce a svým rodičům za podporu v průběhu celého studia.

Prohlašuji, že jsem tuto bakalářskou práci vypracovala samostatně na katedře biochemie pod vedením svého školitele doc. RNDr. Jiřího Hudečka, CSc. Všechny použité literární i jiné zdroje jsem řádně citovala.

*Martina Kozáková*

V Praze dne 30. 8. 2007

Martina Kozáková

# Obsah

<b>1. Přehled problematiky .....</b>	<b>5</b>
<b>1.1 Absorpční spektrofotometrie v ultrafialové a viditelné oblasti .....</b>	<b>5</b>
1.1.1 Princip absorpční spektrofotometrie v UV a VIS oblasti .....	5
1.1.2. Absorpční spektra v UV-VIS oblasti .....	7
<b>1.2 Spektrofotometry pro měření absorpcie v UV/VIS oblasti.....</b>	<b>7</b>
1.2.1 Zdroj záření .....	8
1.2.2 Disperzní systém .....	8
1.2.3 Detektory záření .....	9
1.2.4 Absorbující prostředí .....	9
1.2.5 Uspořádání základních přístrojových částí .....	10
<b>1.3 Validace přístrojů .....</b>	<b>11</b>
1.3.1 Přesnost nastavení vlnových délek .....	11
1.3.2 Fotometrická přesnost .....	13
1.3.3 Limit rozptýleného záření .....	16
1.3.4 Rozlišovací schopnost .....	16
1.3.5 Šum .....	18
<b>1.4 Spekrofotometr Spektromom 195D .....</b>	<b>18</b>
1.4.1. Úvod .....	18
1.4.2. Základní části spektrofotometru .....	18
1.4.3. Optický systém .....	20
1.4.4. Postupy při validaci přístroje .....	21
<b>2. Cíl bakalářské práce .....</b>	<b>23</b>
<b>3. Experimentální část.....</b>	<b>24</b>
<b>3.1 Použité laboratorní přístroje, filtry .....</b>	<b>24</b>
<b>3.2 Zjištění přesnosti nastavení vlnových délek .....</b>	<b>24</b>
<b>3.3 Kalibrace nastavení vlnové délky .....</b>	<b>25</b>
3.3.1 Nastavení spektrofotometru .....	26
3.3.2 Kontrola nastavení vlnové délky .....	26
<b>3.4 Kontrola přepočtu transmitance na absorbanci .....</b>	<b>29</b>
<b>4. Souhrn .....</b>	<b>33</b>
<b>5. Přehled použité literatury.....</b>	<b>34</b>

# 1. Přehled problematiky

## 1.1 Absorpční spektrofotometrie v ultrafialové a viditelné oblasti

Podstatou absorpční spektrofotometrie je sledování absorpcie záření prostředím. V praxi se nejčastěji měří v oblasti 200 – 800 nm (blízká ultrafialová a viditelná oblast). Měření v oblasti pod 200 nm je experimentálně obtížné, protože zde absorbují i anorganické ioty, molekuly kyvet a vzduch. [1]

### 1.1.1 Princip absorpční spektrofotometrie v UV a VIS oblasti [2-5]

Ultrafialové a viditelné záření představuje pouze malou část elektromagnetického spektra a jako další formy záření (radiofrekvenční, mikrovlnné, infračervené, kosmické a rentgenové) má duální, tj. vlnově korpuskulární charakter. Souvislost mezi vlnovými vlastnostmi záření (frekvencí) a vlastnostmi korpuskulárními (energií) popisuje známý vztah odvozený Planckem:

$$E = h \cdot \nu$$

kde E je energie, h Planckova konstanta ( $6,626 \cdot 10^{-34}$  Js) a  $\nu$  je frekvence [Hz].

Každé elektromagnetické vlnění lze charakterizovat frekvencí ( $\nu$ ), která udává počet kmitů za sekundu a vlnovou délku ( $\lambda$ ), což je dráha, o kterou postoupí vlna za dobu jednoho kmitu. Tyto dvě veličiny spolu souvisí vztahem:

$$c = \nu \cdot \lambda$$

kde c je rychlosť šíření světla. Ve vzduchu je rychlosť šíření světla menší než ve vakuu. Snížení rychlosti světla udává index lomu (v dané frekvenci podíl rychlosti světla ve vakuu k rychlosti v daném prostředí). Pokud záření vstoupí do prostředí s vyšším indexem lomu, jeho vlnová délka je ve srovnání se vzduchem menší. Za normálních atmosférických

podmínek se index lomu vzduchu blíží jedné (přibližně 1,0028 pro VIS oblast) a jeho vliv tak lze obvykle zanedbat.

Při interakci záření s látkou se mohou uplatnit jevy jako je lom, odraz, rozptyl, absorpce, fluorescence/fosorescence a popř. fotochemická reakce. Pro měření UV-VIS spekter se využívá absorpce. Při absorpci látka přednostně absorbuje záření určité vlnové délky, tj. určité energetické kvantum. Množství absorbující látky lze zjistit podle velikosti měřené absorpce.

Pro měření absorpce záření je propustnost  $T$  (transmitance) rovna podílu mezi intenzitou prošlého záření ( $I$ ) a intenzitou vstupujícího záření ( $I_0$ ):

$$T = I / I_0$$

Hodnoty transmitance se často uvádějí v procentech.

Častěji se využívá absorbance  $A$ , která je definována jako logaritmus převrácené hodnoty transmitance:

$$A = -\log T$$

Pro posouzení velikosti absorpce záření vzorkem se měří velikost absorbance (někdy transmitance) v závislosti na vlnových délkách (případně frekvenci nebo vlnočtu) použitého spojitého záření, tzv. absorpční spektrum. Absorpční spektrum molekul je soubor pásů odpovídající jednotlivým energetickým přechodům. Leží tedy v oblasti vlnových délek, které jsou charakteristické pro danou látku a jejich poloha se využívá pro kvalitativní analýzu.

Pro kvantitativní vyhodnocení spektra se využívá Lambertova - Beerova zákona, podle kterého je absorbance přímo úměrná počtu absorbujících molekul v dráze paprsku:

$$A = \epsilon \cdot l \cdot c,$$

kde  $\epsilon$  je molární absorpční koeficient ( $m^2 \cdot 10^{-2}/g$ ),  $c$  je koncentrace absorbující látky ( $g/l$ ,  $mg/l$ ) a  $l$  je tloušťka absorbující vrstvy ( $cm$ ). Lambertův – Beerův zákon platí jen za určitých podmínek. Záření musí být monochromatické, roztoky musí být velmi zředěné a absorbující prostředí nesmí podléhat žádným změnám.

Molární absorpční koeficient je charakterický pro danou látku při přesně definovaných podmínkách, jako je vlnová délka, rozpouštědlo a teplota. Experimentálně zjištěné hodnoty

závisí na vlastnostech použitého přístroje. Z tohoto důvodu není vhodné pro kvantitativní analýzy používat předem určené koeficienty (např. z literatury), ale je lépe stanovit pomocí standardu o známé koncentraci, měřeného za stejných podmínek na tomtéž přístroji.

### 1.1.2. Absorpční spektra v UV-VIS oblasti

Absorpční spektra v UV-VIS oblasti vznikají díky přechodům mezi elektronovými stavami v molekule. Vedle těchto energeticky nejnáročnějších přechodů se uplatňují i méně náročné přechody mezi vibračními a rotačními hladinami. Vibrace molekuly znamenají periodické změny jaderných vzdáleností nebo valenčních úhlů v molekule. Rotace a s ní spojené rotační stavu se týkají molekuly jako celku. V důsledku toho absorpcí záření dostatečného k přechodu mezi elektronickými hladinami dojde také k excitaci vibračních a rotačních hladin. Vzniká tak pásové spektrum s jemnou strukturou danou řadou vibračních a rotačních přechodů, v kondenzované fázi je tato struktura vlivem interakce mezi molekulami změněna v souvislý absorpční pás.

Absorpce je nejčastěji způsobena elektronovými přechody mezi vazebními a antivazebními orbitaly  $\pi$  ( $\pi \rightarrow \pi^*$ ) a přechody z nevazebních orbitalů ( $n \rightarrow \sigma^*$ ,  $n \rightarrow \pi^*$ ). U bílkovin a nukleových kyselin jsou hlavními chromofory systémy s násobnými vazbami. U konjugovaných systémů (např. porfyrinový kruh) se absorpcí záření projevuje hlavně ve viditelné oblasti. [1,6]

Absorpce v oblasti viditelného záření (400-750 nm) způsobuje barevnost látek. Absorpci v UV oblasti lze měřit jen fotoelektrickými detektory, lidské oko toto záření nevnímá. [6]

## 1.2 Spektrofotometry pro měření absorpce v UV/VIS oblasti

Absorpční spektrofotometr je přístroj k měření transmitance nebo absorbance vzorku jako funkce vlnové délky elektromagnetického záření. Základní části spektrofotometru jsou: zdroj produkování kontinuální elektromagnetické záření v dané oblasti, disperzní systém, který separuje záření z určitého spektrálního intervalu vlnových délek, zařízení pro umístění vzorku

a jeden či více detektorů k měření intenzity záření. Další optické prvky, jako kolimátory, čočky a zrcadla slouží k vedení, koncentraci či zaostřování paprsku. [2]

### 1.2.1 Zdroj záření

Zdroj záření emituje primární záření, které je vzorkem absorbováno a velikost této absorpce je sledována.

Ideální zdroj by měl poskytovat záření o konstantní intenzitě přes celý rozsah vlnových délek s dlouhodobou stabilitou a nízkým šumem. Pro viditelnou a ultrafialovou oblast se používá rozdílných typů zdrojů záření. Nejrozšířenějším zdrojem UV záření jsou deuteriové a vodíkové výbojky, které za vysokých tlaků plynů emitují spojité ultrafialové záření a současně emitují několik čar ve viditelné oblasti, jichž se často používá ke kalibraci spektrofotometrů. Dalším možným zdrojem záření v téže oblasti jsou xenonové výbojky, které se ale s ohledem na vyšší cenu používají méně často.

Ve viditelné oblasti se používají halogenové a wolframové lampy. Wolframová lampa poskytuje spojité záření v rozsahu od 350 nm až do blízké infračevené oblasti. Je to wolframový drát, který umístěný ve skleněné nebo křemenné baňce plněně argonem. Halogenová lampa je v zásadě wolframová lampa, která obsahuje malé množství jódu v křemenné baňce. Plynný wolfram vznikající sublimací ze žhavého wolframového vlákna reaguje s jódem za vzniku WI<sub>2</sub>. Když molekuly WI<sub>2</sub> narazí na vlákno, jodid se rozloží a wolfram se tak vrací zpět na vlákno.[3,4]

### 1.2.2 Disperzní systém

Disperzní systém tvoří základní optickou část přístrojů a slouží k separaci určité vlnové délky nebo přesněji úzkého pásu vlnových délek. Disperzní systém je realizován pomocí monochromátorů nebo filtrů (u jednodušších přístrojů pro kvantitativní analýzu). [3]

Monochromátory jsou buď hranolové nebo mřížkové. Hranolové monochromátory rozdělují polychromatické záření na základě toho, že různé vlnové délky se lámou pod různými úhly. Z hranolu tedy vystupují paprsky různých vlnových délek různými směry. Otáčením hranolu dopadá na výstupní štěrbiny monochromátoru záření různé vlnové délky.

Mřížkové monochromátory nerozdíl od hranolu využívají difrakce (ohybu) záření. [1]

### **1.2.3 Detektory záření**

Detektory převádějí energii dopadajícího záření na jinou formu energie, nejčastěji na energii elektrickou. Detektor by měl být citlivý na záření v širokém rozsahu vlnových délek a poskytovat lineární odezvu bez ohledu velikosti energie dopadající záření (dynamický rozsah), mít nízký šum a vysokou citlivost. Spektrofotometry obvykle obsahují jako detektor fotonásobič nebo fotodiodový detektor, popřípadě fotonky. [2]

Fotonásobič je založen na vnějším fotoelektrickém efektu, kdy dochází k emisi elektronů z povrchu elektrody, na kterou dopadá elektromagnetické záření. Fotonásobič je tvořen fotokatodou, anodou a soustavou pomocných elektrod - dynod, které jsou umístěny v evakuované baňce. Foton dopadne vstupním okénkem na fotokatodu, uvolní z ní elektrony, které jsou urychleny vloženým elektrickým polem a dopadají kaskádovitě na dynody. Každý urychlený elektron vyrazí z dynody několik sekundárních elektronů, čímž se účinek záření zesiluje a mezi katodou a anodou pak registrujeme proud.

Kvalita fotonásobiče je především dána hodnotou tzv. temného proudu, což je proud, který prochází při vloženém urychleném napětí, i když na fotokatodu nedopadá záření. Ke vzniku temného proudu přispívá termoemise fotokatody, emise silným elektrickým polem a svodový proud. Jednodušší detektory na stejném principu (fotobuňky) mají pouze fotokatodu a anodu, nedochází na nich k zesílení signálu.

Fotodiodový detektor má širší dynamický rozsah. Ve fotodiode světlo dopadající na polovodič umožní tok elektronů, takže se vyčerpává náboj kondenzátoru, který je připojen k polovodiči. Množství náboje, které je potřeba k nabití kondenzátoru, je úměrné intenzitě dopadajícího světla. [3]

### **1.2.4 Absorbující prostředí [3]**

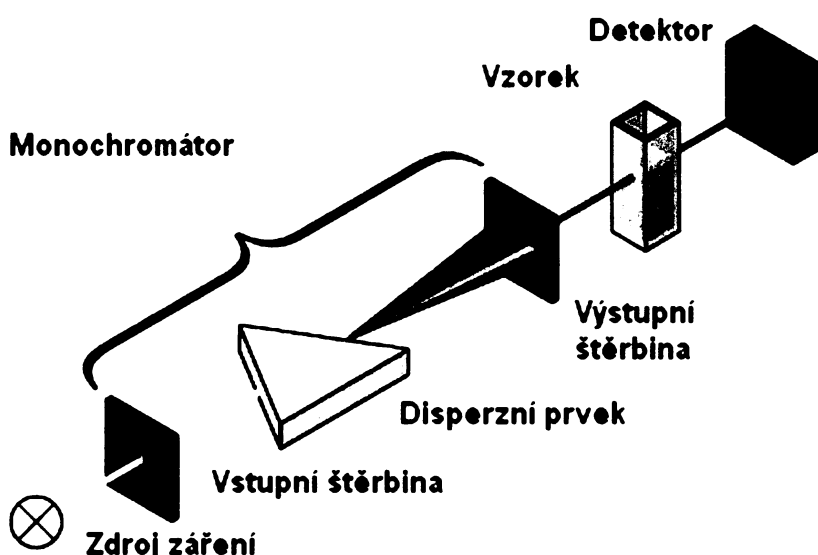
Při nejběžnější práci se používá obvykle rektangulárních kyvet (s konstantní známou vnitřní tloušťku absorbující vrstvy - v UV-VIS oblasti od 0,1 do 10 cm). Pro běžná měření se nejčastěji používá 1 cm kyvet. Tlušťka kyvet se většinou volí v závislosti na koncentraci měřeného roztoku tak, aby se naměřená hodnota absorbance pohybovala v rozmezí 0,1 až 1. Materiál, ze kterého jsou kyvety vyrobeny, nesmí absorbovat záření ve sledovaném vlnovém rozsahu, proto pro ultrafialovou oblast používáme křemenné kyvety, pro oblast viditelnou postačují skleněné nebo plastové.

### 1.2.5 Uspořádání základních přístrojových částí [2]

Tradičně se rozlišují dva základní typy konstrukce - jednopaprsková nebo dvoupaprsková.

U jednopaprskového uspořádání jde polychromatické záření ze zdroje na výstupní štěrbina monochromátoru, kde je selektivně transmitován úzký pruh záření. Toto monochromatizované záření jde přes kyvetový prostor a kyvety do detektoru. Aby se zjistila absorbance vzorku, musí se nejdříve změřit referenční intenzita záření dopadající na detektor (v kyvetě je referenční roztok), která se poté porovná s intenzitou záření prošlého kyvetou s měřeným vzorkem. Toto uspořádání je vhodné pro měření absorbancí vzorků při jedné vlnové délce.

Schéma jednopaprskového uspořádání je na obrázku 1.



Obr. 1 - Schéma jednopaprskového uspořádání, podle [2], upraveno

V původním uspořádání jednopaprskových přístrojů bylo potřeba měřit spektrum „bod po bodu“, což bylo velmi zdlouhavé a pracné. Tyto přístroje se dnes používají spíše jen ke kvantitativním měřením (při konstantní vlnové délce). Moderní jednopaprskové přístroje registrují celý měřený interval nejprve pro referenční a poté pro měřený vzorek. U jednopaprskového uspořádání, kde je pro získání celého spektra potřeba několik minut, protože se každá vlnová délka musí změřit zvlášť, může dojít k časové nestabilitě použitého zdroje záření.

Dvoupaprskové spektrofotometry umí kompenzovat tyto změny intenzity zdroje záření

blanku a vzorku. V pravých dvouaprskových přístrojích prochází rozdělený paprsek jak referenčním, tak měřeným vzorkem. Dosahuje se toho tím, že je paprsek rozdělen např. děličem (dvouaprskové spektrofotometry „v prostoru“) nebo častěji rychle přepínán pomocí rotujícího zrcadla (dvouaprskové spektrofotometry „v čase“). V současnosti se uplatňují také jednodušší přístroje (tzv. Split Beam), v nichž je kompenzována nestabilita zdroje měřením pomocným detektorem.

Jiným typem jsou spektrofotometry s diodovým polem (diode-array), které mají jednopaprskové uspořádání. Polychromatické záření jde ze zdroje přes kyvetový prostor do výstupní štěrbiny polychromátoru. Polychromátor rozptýlí záření na diodové pole, kde každá dioda změří úzkou část spektra. Vlnová délka záření, které je detekováno diodou závisí na velikosti vstupní štěrbiny polychromátoru a s velikostí diody.

## 1.3 Validace přístrojů

Účelem validace přístrojů je potvrzení, že základní parametry, jako je správné nastavení vlnové délky, fotometrická přesnost, rozlišení a další, odpovídají specifikaci přístroje, resp. jsou vhodné pro uvažovanou analytickou metodu.

### 1.3.1 Přesnost nastavení vlnových délek

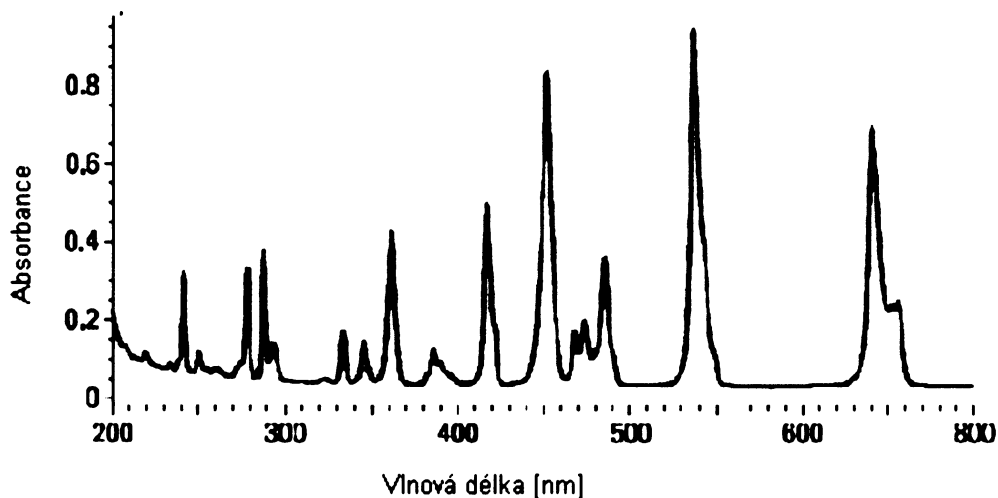
Přesnost nastavení vlnových délek je důležité kritérium pro porovnání spekter, která jsou měřena na různých přístrojích. Také hraje roli v kvantitativní analýze při použití absorpčních koeficientů, které jsou závislé na vlnové délce a měření by mělo být provedeno při vlnové délce, při které byly tyto koeficienty získány. K měření přesnosti nastavení vlnových délek se v ideálním případě používají referenční standardy, které mají velmi úzké a dobře definované píky v celém UV pásu a viditelné oblasti spektra. Obecně připadají v úvahu kalibrační filtry (kapalinové nebo ze speciálních skel) nebo emisní kalibrační výbojky s vysokým podílem čárových emisí. [2]

Podle lékopisu [7] se kontrola vlnových délek provádí pomocí absorpčních maxim roz toku chloristanu holmitého nebo pomocí emisních maxim vhodných výbojek. V tabulce 1 jsou uvedeny polohy čar pro vodíkovou, resp. deuteriovou lampu a poloha čar pro rtuťové páry. Povolená tolerance je  $\pm 1$  nm pro ultrafialovou oblast a  $\pm 3$  nm pro viditelnou oblast.

**Tabulka 1 Maxima absorpcie roztoku chloristanu holmitého (Ho), poloha emisních čar pro vodíkovou (Hbeta) a deuteriovou (Dbeta) lampu a rtut'ové páry (Hg), podle [7]**

$\lambda_{\max}$ [nm]	$\lambda_{\max}$ [nm]
241,15 nm (Ho)	404,66 nm (Hg)
253,70 nm (Hg)	435,83 nm (Hg)
287,15 nm (Ho)	486,00 nm (Dbeta)
302,25 nm (Hg)	486,10 nm (Hbeta)
313,16 nm (Hg)	536,30 nm (Ho)
334,15 nm (Hg)	546,07 nm (Hg)
361,50 nm (Ho)	576,96 nm (Hg)
365,48 nm (Hg)	579,07 nm (Hg)

Na obrázku 2 je spektrum roztoku chloristanu holmitého (40 g/l oxidu holmitého v 10% v/v kyselině chloristé). [2,7]

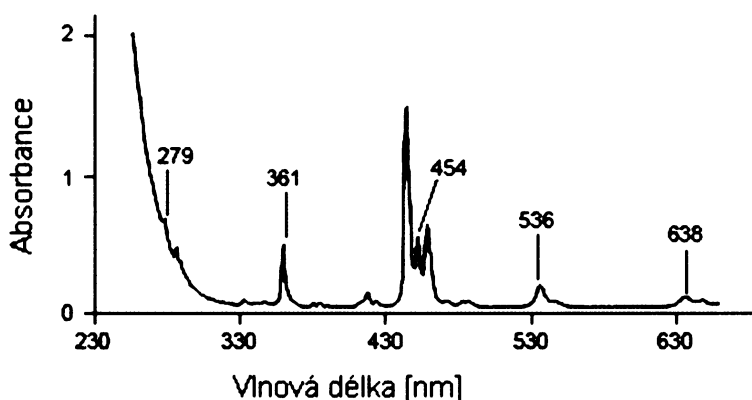


**Obr. 2 - Spektrum roztoku chloristanu holmitého, podle [2], upraveno**

Kontrolu stupnice vlnové délky lze provést také pomocí holmiového a didymiového skleněného filtru. Polohy maxim absorpcie s povolenými tolerancemi jsou uvedeny v tabulce 2 [8]. Spektrum holmiového filtru je na obrázku 3 [9]

**Tabulka 1 - Hodnoty vlnových délek absorpčních maxim pro didymiový a holmiový filtr podle [8]**

Vlnové délky [nm]	
Holmiový filtr	Didymiový filtr
$241,5 \pm 0,2$	$573,0 \pm 3,0$
$279,4 \pm 0,3$	$586,0 \pm 3,0$
$287,5 \pm 0,4$	$685,0 \pm 4,5$
$333,7 \pm 0,6$	
$360,9 \pm 0,8$	
$418,4 \pm 1,1$	
$453,2 \pm 1,4$	
$536,2 \pm 2,3$	
$637,5 \pm 3,8$	



**Obr. 3 - Spektrum holmiového filtru, podle [9], upraveno**

U spektrofotometrů s deuteriovými lampami lze použít deuteriové emisní čáry, které jsou při 486,0 nm a 658,1 nm. Nevýhodou deuteriových lamp je, že pro kalibraci jsou k dispozici jen dvě vlnové délky a žádná z nich neleží v UV oblasti. [8, 10]

### 1.3.2 Fotometrická přesnost

Fotometrická přesnost je důležitá pro kvantitativní analýzu, kde jsou užívány absorpční koeficienty. Také je to důležitý parametr při srovnávacích měřeních. K měření

fotometrické přesnosti se dají použít srovnávací standardy, které by ideálně měly mít stálou absorbanci v celém UV a VIS rozsahu, aby nebyly ovlivněny přesností nastavení vlnových délek. Kontrola absorbancí se provádí mnoha metodami. Některé jsou pro UV oblast, některé pro VIS oblast. [2]

### **Měření fotometrické přesnosti ve VIS oblasti spektra**

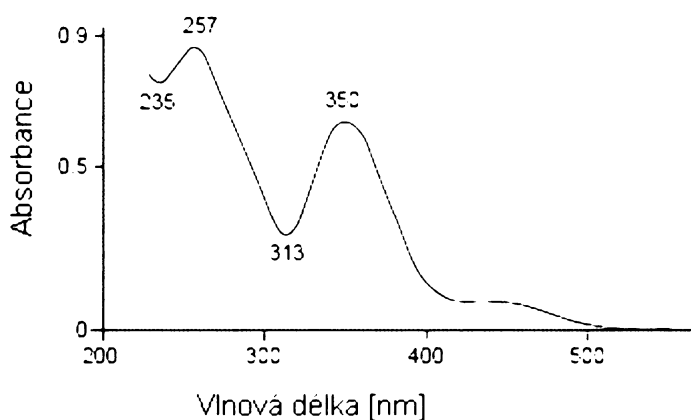
Pro měření fotometrické přesnosti lze ve viditelné oblasti spektra použít skleněných šedých filtrů nebo roztoku CuSO<sub>4</sub>, který se připraví rozpuštěním 20g CuSO<sub>4</sub>.5H<sub>2</sub>O ve vodě, přidáním 10 ml kyseliny sírové a doplněním na 1000 ml. Hodnoty absorbance tohoto roztoku, změřeného v 1 cm vrstvě proti 1% kyselině sírové, udává tabulka 3. Povolená chyba od naměřených hodnot jsou 2 % udávané hodnoty absorbance.[8]

**Tabulka 3 - Hodnoty absorbance roztoku síranu měďnatého (20 g/l) v 1% kyselině sírové podle [8]**

<b>λ [nm]</b>	<b>Absorbance</b>
600	0,068
650	0,224
700	0,527
750	0,817

### **Měření fotometrické přesnosti v UV oblasti spektra**

Na kontrolu fotometrické přesnosti lze použít roztok dichromanu draselného, který se připraví rozpuštěním 57 mg až 63 mg dichromanu draselného (předtím vysušeného při 130°C) v kyselině sírové 0,005 mol/l a jejím doplněním na 1000 ml. V tabulce 4 jsou uvedeny specifické hodnoty absorbance tohoto roztoku (1 % roztok měřený v 1 cm kyvetě) včetně povolených odchylek a dále hodnoty absorbance pro roztok obsahující přesně 60,06 mg dichromanu draselného v 1000 ml kyseliny sírové. Spektrum 0,006 % roztoku dichromanu draselného v kyselině sírové je uvedeno na obrázku 4. [7,9]



Obr. 4 - Spektrum 0,006% roztoku dichromanu draselného v kyselině sírové, podle [9], upraveno

Tabulka 4 – Specifické hodnoty absorbance  $\text{K}_2\text{Cr}_2\text{O}_7$  v 0,005M kyselině sírové, hodnoty absorbance pro roztok obsahující přesně 60,06 mg  $\text{K}_2\text{Cr}_2\text{O}_7$ , hodnoty absorbancé roztoků A a B  $\text{K}_2\text{Cr}_2\text{O}_7$ , podle [7,8]

$\lambda$ [nm]	A (1%, 1 cm)	Tolerance	Absorbance 0,006 % roztoku $\text{K}_2\text{Cr}_2\text{O}_7$	Roztok A	Roztok B
235	124,5	122,9 – 126,2	0,748	0,626	1,251
257	144,0	142,4 – 154,7	0,865	0,727	1,454
313	48,6	47,0 – 50,3	0,292	0,244	0,488
350	106,6	104,9 – 108,2	0,640	0,536	1,071

Další postup kontroly fotometrické přesnosti vychází z přípravy dvou roztoků dichromanu draselného o odlišné koncentraci a následného změření absorbance proti 0,005 mol/l kyselině sírové.

První roztok (roztok A) se připraví rozpuštěním 50 mg  $\pm$  0,5 mg dichromanu draselného do 1 litru 0,005 mol/l kyseliny sírové. Druhý roztok (roztok B) se připraví navážením 100 mg  $\pm$  1,0 mg v 1 litru 0,005 mol/l kyseliny sírové. Povolená odchylka naměřených hodnot od referenčních, uvedených rovněž v tabulce 4, poslední dva sloupce, je do 1,6 %. [8]

### 1.3.3 Limit rozptýleného záření

Rozptýlené záření (také zbloudilé záření, stray light) se projevuje tím, že detektor poskytuje odezvu i v situaci, kdy v optické dráze a kyvetě je vzorek s nulovou hodnotou transmitance. Jeho vznik je dán jednak tím, že z výstupní štěrbiny monochromátoru vystupuje i záření s vlnovou délkou, které neleží v měřeném spektrálním rozsahu, a které může procházet detektorem a dále tím, že část záření o vlnové délce  $\lambda$  vystupujícího z monochromátoru může dorazit k detektoru různými cestami, popř. se mohou uplatnit i optické „netěsnosti“ přístroje. Vztah pro výpočet transmitance je pak možné upravit do tvaru:

$$T = (I + I_S) / (I_0 + I_S),$$

kde  $T$  je transmitance,  $I_0$  je intenzita vstupního světla,  $I$  je intenzita světla prošlého kyvetou a  $I_S$  je intenzita rozptýleného světla.

Rozptýlené světlo ovlivňuje linearitu vztahu mezi absorbancí a koncentrací při vysokých hodnotách absorbance, což se projevuje jako systematický pokles k nižším absorbancím za vzrůstající koncentrace. Množství rozptýleného světla nesmí překročit určitou hodnotu, aby byla zachována lineární závislost absorbance na koncentraci. Tato hodnota se nazývá limit rozptýleného záření.

Rozptýlené světlo lze měřit např. použitím filtrů, které při určité vlnové délce plně absorbují a světlo, které dopadá na detektor při použití těchto filtrů je rozptýlené světlo. Nejčastěji se používá vhodných filtračních roztoků s vysokou absorpcí při dané vlnové délce. Např. absorbance roztoku chloridu draselného (12 g/l) měřená v 1 cm kyvetě při 200 nm by měla být vyšší než 2 v porovnání s vodou jako kontrolní kapalinou. Pro vlnovou délku 340 nm se používá roztok dusitanu sodného, pro 220 nm lze použít roztok jodidu sodného.  
[7.10]

### 1.3.4 Rozlišovací schopnost

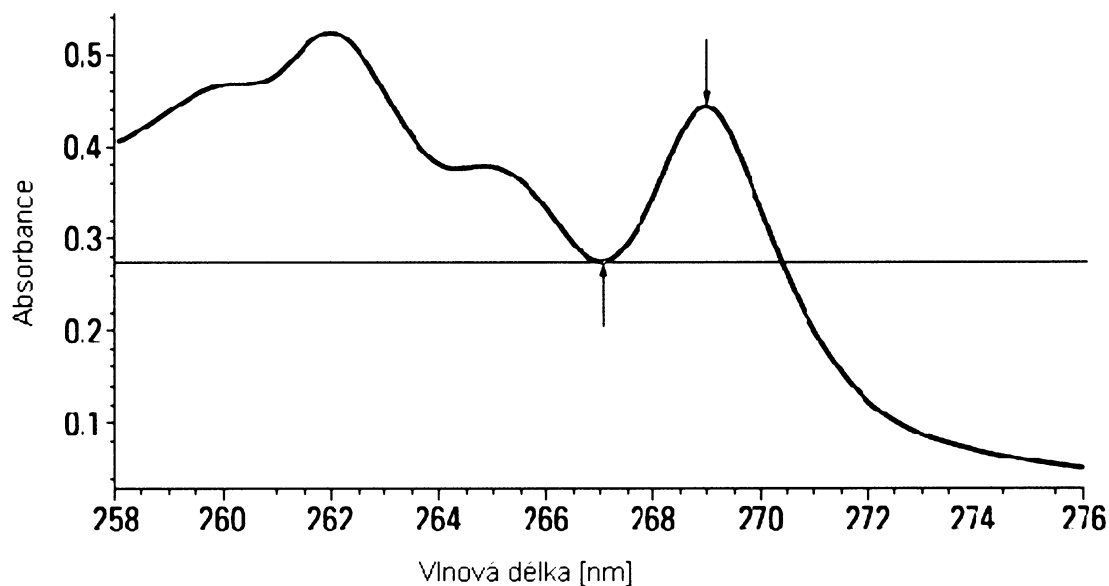
Rozlišovací schopnost je založena na schopnosti rozlišit mezi dvěma blízkými vlnovými délkami; ve spektrofotometrii se tímto pojmem zpravidla rozumí schopnost rozlišit dvě blízká absorpční maxima. Za rozlišená považujeme taková maxima, kde absorpcie mezi vrcholy klesne na 80 % maximální hodnoty. Rozlišovací schopnost přístroje by pak byla

definována jako nejmenší rozdíl vlnových délek, při kterém budou blízko ležící maxima ještě rozlišena. [2]

Protože takto definované rozlišení je jen obtížně měřitelné, při validaci přístrojů se nejčastěji pracuje s vhodnou kalibrační sloučeninou s blízko ležícími maximy. Hodnoty poměru absorbancí roztoku toluenu v hexanu (0,02 % V/V, proti čistému hexanu, změřeno spektrum od 265 nm do 272 nm) pro deklarované šířky štěrbiny udává tabulka 5. Spektrum toluenu v hexanu s vyznačenými maximy je na obr. 5. [2,10]

**Tabulka 5 - Hodnota A (269) / A (266) pro různé spektrální šířky štěrbiny podle [2]**

Spektrální šířka štěrbiny	Poměr $A_{269} / A_{266}$
0,25	2,3
0,50	2,2
1,00	2,0
2,00	1,4
3,00	1,1
4,00	1,0



**Obr. 5 - Spektrum toluenu v hexanu, podle [2], upraveno**

### **1.3.5 Šum**

Šum ovlivňuje přesnost měření absorbance. Významně se uplatňuje při nízkých absorbancích vzorku, kdy představuje značnou relativní odchylku. Nejčastěji se měří při nulových absorbancích, to znamená bez vzorku v dráze paprsku. Šum se poté spočítá podle následujícího vztahu (ve kterém je zahrnuta korekce na nestabilitu nulové linie – tzv. drift):

$$\text{šum (rms)} = \sqrt{\frac{\sum(X - x)^2}{2}}$$

kde x jsou naměřené hodnoty, X je klouzavý průměr z pěti po sobě jdoucích hodnot. [11]

## **1.4 Spekrofotometr MOM 195D [12]**

### **1.4.1. Úvod**

Spektrofotometr MOM 195D je jednopaprskový přístroj, který slouží k měření transmitance nebo absorbance kapalin a pevných látek ve vlnovém rozsahu 190 – 1100 nm. Nepatrné rozptýlené světlo přístroje podle údajů výrobce zaručuje vysokou monochromatičnost, přičemž by měla být zaručena platnost Lambertova-Beerova zákona.

### **1.4.2. Základní části spektrofotometru**

Uvnitř přístroje je 5 hlavních stavebních dílů:

1. Zdroj světla
2. Skříňka monochromátoru
3. Prostor kyvety
4. Skříňka přijímače
5. Ovládací prvky

## **Zdroj světla**

Přístroj má dva zdroje světla. Deuteriovou lampu, která se používá při měření v oblasti 190 - 350 nm a halogenovou lampu pro oblast od 320 - 1100 nm. Před lampou se nachází sběrné zrcadlo, jehož poloha může být justována pomocí nastavovacích šroubů zrcadla. Oba zdroje světla je možné zařadit do optické dráhy přepínačem lamp a o jejich zapnutí informuje rozsvícení příslušné kontrolky na přední desce přístroje.

## **Skříň monochromátoru**

Základní části monochromátoru (křemenný hranol, zrcadlo kolimátoru a štěrbiny) jsou umístěny v hliníkové skříni. Křemenný hranol má hranu podstavy 30 mm, výšku 54 mm a lámavý úhel 30°. Zrcadlo kolimátoru má ohniskovou vzdálenost 500 nm a relativní aperturu 1:10. Vstupní a výstupní štěrbina jsou umístěny nad sebou. Aby se kompenzovalo zakřivení spektrální linie, jsou štěrbiny vyrobeny s poloměrem zakřivení 700 mm. Fyzická výška štěrbiny je 13 mm, šířka štěrbiny se může měnit od 0 - 2 mm. Obě štěrbiny mohou být měněny současně otočením nastavovacího knoflíku štěrbiny. Šířka štěrbiny (v mm) se odečítá na stupnici. Před vstupní štěbinou mezi monochromátorem a kyvetovým prostorem se nachází zrcadlo, které promítá světlo ze zdroje na vstupní štěbinu monochromátoru. Toto zrcadlo může být pomocí nastavovacího šroubu zrcadla natáčeno, čímž je umožněna justace chodu svazku paprsku.

## **Prostor kyvety**

V kyvetovém prostoru je běžně možnost umístit 4 kyvety, které lze postupně zařazovat do optické dráhy bez otevření přístroje. Na základní desku lze připevnit otočný držák pro kyvety s různými optickými délками. Pomocí tohoto zařízení a k tomu příslušného optického přídavného systému lze provádět také měření celkové fluorescence a nefelometrická měření.

## **Skřínka detektoru**

Skřínka přijímače se nachází na pravé straně spektrofotometru a je v ní našroubovaná silikagelová sušící patrona. Fotočlánky jsou umístěny ve vzduchotěsně uzavřené skříni a pomocí nich lze z vnějšku přepínat mezi článkem s antimon-cesiovou fotokatodou (citlivý pro vlnové délky 190 – 650 nm) a článkem s cesiovou fotokatodou ( citlivý pro vlnové délky 550 – 1100 nm). Světelný paprsek z kyvetového prostoru vstupuje do skříně detektoru křemenným okénkem.

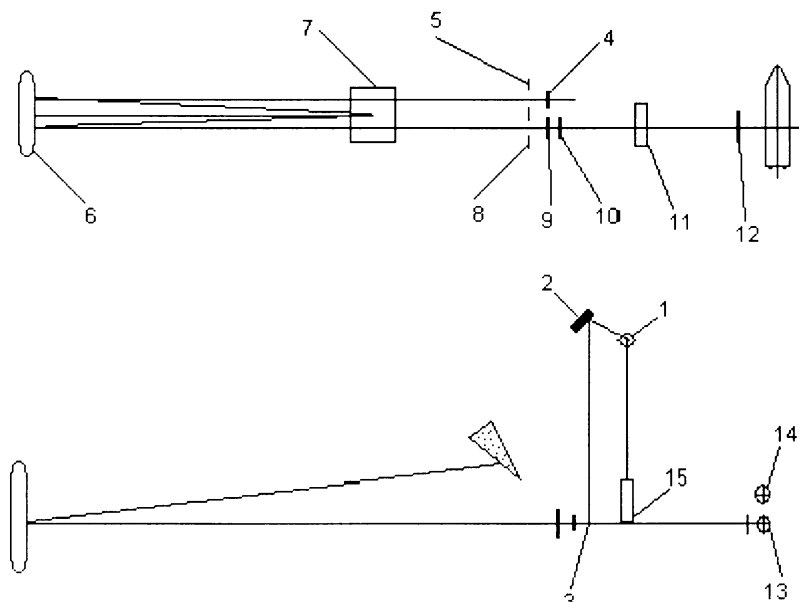
## Ovládací prvky

Na levé straně přístroje vedle zástrčky do sítě jsou umístěny obě síťové pojistky, síťový hlavní vypínač, vypínače lamp a šrouby pro nastavení vlnových délek. Na pravé straně přístroje se nalézá přípojka pro zapisovací přístroj (v případě, že je do ni zapisovací přístroj připojen, nefungují vnější ukazatele přístroje).

### 1.4.3. Optický systém

Světlo, které jde ze zdroje světla, dopadá na sběrné zrcadlo, kde je fokusováno a promítáno na rovinné zrcadlo. Pomocí rovinného zrcadla je svazek paprsků vychýlen o  $90^\circ$  a promítán na vstupní štěrbinu, která je chráněna destičkou z křemenného skla. Paralelní svazek paprsků je promítán do sběrného zrcadla a na křemenný hranol, který paprsek spektrálně rozděluje, a jehož zadní plocha ho promítá na sběrné zrcadlo. Paprsky, které na hranol dopadají, jsou pomocí sběrného zrcadla zaostrovány na výstupní štěrbinu. Pokud se otočí hranol, je změněna vlnová délka světla vycházející z monochromátoru. Po průchodu vzorkem, popř. referenční látkou a ochrannou deskou dopadá světlo na katodu fotobuňky.

Aby se zmenšilo rozptýlené světlo, je možnost dát v oblasti od 320 nm do 400 nm filtr ze skla UG11 a v oblasti nad 600 nm filtr ze skla OG5 (filtry se vloží do cesty paprsku vycházejícího z monochromátoru). Pro kvantitativní měření se použije barevný filtr UG11, pokud je zdrojem paprsku jodová lampa a měření se provádí v oblasti od 320 nm do 400 nm. Optický systém i s popisem jednotlivých částí je znázorněn na obrázku 6.



- |                      |                               |
|----------------------|-------------------------------|
| 1) zdroj světla      | 8) výstupní štěrbina          |
| 2) sběrné zrcadlo    | 9) křemenná čočka             |
| 3) rovinné zrcadlo   | 10) absorpční filtr           |
| 4) křemenná destička | 11) vzorek, referenční látka  |
| 5) vstupní štěrbina  | 12) ochranná deska            |
| 6) sběrné zrcadlo    | 13) nebo 14) katoda fotobuňky |
| 7) křemenný hranol   | 15) čočka                     |

Obrázek 6 - Optický systém, podle [12], upraveno

#### 1.4.4. Postupy při validaci přístroje

V následujícím textu je popsána jen validace vlnové délky a kontroly pozice světelného zdroje, kterých se týká experimentální část.

##### Kontrola vlnové délky

Jednou z možností kontroly vlnové délky je metoda vizuální, pomocí spektrální rtuťové lampy. Ta se po odstranění krytu umístí před sběrné zrcadlo namísto jodové lampy. Vlnová délka se nastaví na jedno z absorpčních maxim uvedených v tabulce 6. Štěrbina se otevře na maximum a na bílém listu papíru se v kyvetovém prostoru pozoruje paprsek vycházející z monochromátoru. Když tento paprsek vyplní štěrbinu, odečte se hodnota vlnové délky. Pokud naměřená hodnota neodpovídá údajům z literatury, přístroj se justuje šrouby pro nastavení vlnové délky.

Další možnost kontroly vlnové délky je fotoelektrickou metodou také pomocí rtuťové lampy. Tato metoda je přesnější. Přístroj se zapne, ale lampa se nechá vypnout. Potenciometr

se nastaví do střední polohy pomocí knoflíku „100 T % FINE“, tak aby hodnota transmitance byla 10-20 %. Poté se pomocí změny nastavení vlnové délky zjistí, kde se nachází maximum. Je-li zjištěna odchylka od deklarované hodnoty postupuje se stejně jako v předchozím případě.

Také je možné použít stejným postupem emisních maxim deuteriové lampy (vlnové délky 656,3 nm nebo 486,1 nm). Nevýhodou je, že jsou k dispozici jen dvě maxima.

**Tabulka 6 –Povolené odchylky pro vlnové délky čar [12]**

vlnová délka [nm]	± povolená odchylka od vlnové délky [nm]
253,6	0,1
546,1	0,6
579,0	1,0

## **Kontrola polohy světelného zdroje**

Kontrola nastavení zdroje světla do optické osy se provádí po nastavení štěrbiny na 2 mm. Otevře se kryt v kyvetovém prostoru a do cesty paprsku se položí list tuhého papíru. Kryt v prostoru lampy se také odstraní. Zrcadlo se otočí nejprve proti jedné a poté proti druhé lampa. Při kontrole je vhodné nastavit vlnovou délku na 546 nm, která je nejlépe viditelná. V kyvetovém prostoru pozorujeme světlo, které by mělo být rovnoměrné (obraz hranolu). Pokud tomu tak není, pozice lamp se pomocí šroubováku a justačních šroubů nastaví tak, aby osvícení bylo silné a rovnoměrné.

## **2. Cíl bakalářské práce**

UV-VIS absorpční spektrofotometrie je metoda k určení biochemicky významných látek. Stanovení je založeno na měření velikosti absorpce UV nebo VIS světla vzorkem obsahujícím zkoumanou látku a následném vyhodnocení naměřených hodnot. Pro efektivní využití je nezbytná správná funkce přístroje. Cílem mé práce bylo seznámit se s funkcí a validací spektrofotomerů a dále ověřit správnou funkci spektrofotometru MOM 195D, který se používá na katedře biochemie pro různá biochemická stanovení a opravit případné odchylky. Zaměřila jsem se na přesnost v nastavení vlnových délek, protože zde byla v minulosti zjištěná určitá chyba. Dále bylo cílem prověřit, zda správně funguje přepočítávací obvod přístroje pro přepočet transmitancí na absorbance.

### 3. Experimentální část

#### 3.1 Použité laboratorní přístroje, filtry

SPEKTROMOM 195D, Magyar Optical Müvek, Budapest, Maďarsko

Spektroskop typu diode-array Hewlett-Packard HP 8453, Agilent Technologies, USA

Skleněný didymiový filtr, typu 2, UNICAM, číslo 700871

Skleněný holmiový filtr, typu 2, UNICAM, číslo 700570

Rtuťová výbojka HQE 40, Narva Berlin, Německo

#### 3.2 Zjištění přesnosti nastavení vlnových délek

Na přístroji Hewlett-Packard 8753 bylo zejména pro kontrolu proměřeno spektrum holmiového a didymiového filtru. Pozice maxim absorpcie souhlasila s údaji v literatuře [2,7]. Vybraná maxima holmiového filtru - 454 nm, 461 nm a 536 nm byla poté proměřena na přístroji SPEKTROMOM 195D a porovnána, o kolik se tato absorpční maxima liší. Naměřené hodnoty jsou v tabulkách 7 a 8. Maxima 451 nm a 457 nm byla měřena při fyzické šířce štěrbiny 0,075 mm a maximum 533 nm bylo změřeno se štěrbinou o šířce 0,055 mm.

Tabulka 7 - Absorpční maxima pro holmiový filtr (pro teoretické maximum absorpce 454 nm a 461 nm)

$\lambda$ [nm]	A	$\lambda$ [nm]	A
448	0,668	455	0,643
450	1,070	456	0,973
<b>451</b>	<b>1,179</b>	<b>457</b>	<b>1,514</b>
452	0,956	458	1,240
453	0,786	460	0,658
454	0,548		

Tabulka 8 - Absorpční maxima pro holmiový filtr (pro teoretické maximum absorpce 536 nm)

$\lambda$ [nm]	A	$\lambda$ [nm]	A
525	0,088	<b>533</b>	<b>0,361</b>
527	0,109	534	0,338
529	0,173	535	0,293
530	0,235	536	0,241
531	0,300	540	0,149
532	0,341		

Pozn.: zvýrazněné hodnoty v tabulkách označují maxima absorpce

Porovnáním údajů z literatury a výsledků změřených na SPEKTROMOMu 195D ukazuje, že se polohy maxim liší o 3 až 4 nm.

Totéž měření bylo provedeno s didymiovým filtrem pro maxima 573 nm, 741 nm a 748 nm. Maximum 573 nm bylo měřeno při fyzické šířce štěrbiny 0,055 nm a maxima 741 nm a 748 nm při 0,42 nm. Výsledky měření jsou vidět v tabulkách 9 a 10.

**Tabulka 9 - Absorpční maxima pro didymiový filtr ( 573 nm)**

$\lambda$ [nm]	A	$\lambda$ [nm]	A
560	0,104	568	1,285
562	0,151	<b>569</b>	<b>1,320</b>
564	0,313	570	1,225
565	0,435	572	1,075
566	0,709	576	0,831
567	0,980		

**Tabulka 10 - Absorpční maxima pro didymiový filtr (741 nm a 748 nm)**

$\lambda$ [nm]	A	$\lambda$ [nm]	A
730	0,217	740	0,266
732	0,233	741	0,264
734	0,245	742	0,262
735	0,248	<b>744</b>	<b>0,269</b>
736	0,257	746	0,263
737	0,255	748	0,262
<b>738</b>	<b>0,269</b>	750	0,257
739	0,268		

Pozn.: zvýrazněné hodnoty v tabulkách označují maxima absorpce

Také pro didymiový filtr je diferenč mezi pozicemi z literatury a údaji přístroje 3 až 4 nm.

### 3.3 Kalibrace nastavení vlnové délky

Ke kalibraci vlnové délky byla použita modifikovaná fotoelektrická metoda podle návodu k přístroji MOM 195D [12].

### 3.3.1 Nastavení spektrofotometru

Odkrytím levého krytu spektrofotometru byl zpřístupněn šroub pro nastavení vlnové délky. Nejprve byla na přístroji nastavena vlnová délka 486,1 nm, která odpovídá jednomu z teoretické pozice maxima emise deuteriové lampy. Měření intenzity v okolí této hodnoty ale ukázalo, že pozice maxima se jeví již při 483,5 nm. Pomocí pomalého otáčení šroubu za neustálé kontroly maxima vlnové délky, bylo pak nastaveno maximum vlnové délky na správnou hodnotu 486,1 nm.

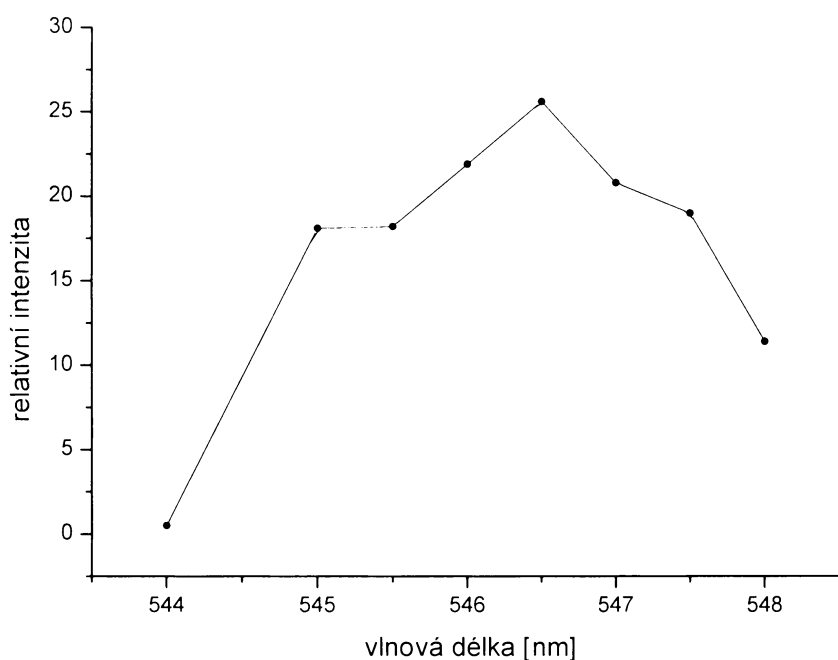
### 3.3.2 Kontrola nastavení vlnové délky

Po odebrání zadního krytu byla do prostoru pro světelný zdroj zařazena rtuťová výbojka a při fyzické šířce štěrbiny 0,05 mm změřena její relativní intenzitu kolem vybraných maxim. Předpokládaná vybraná maxima absorpce byla při vlnových délkách 546,07 nm, 435,83 nm a 365,50 nm. Výsledky měření jsou v tabulce 11.

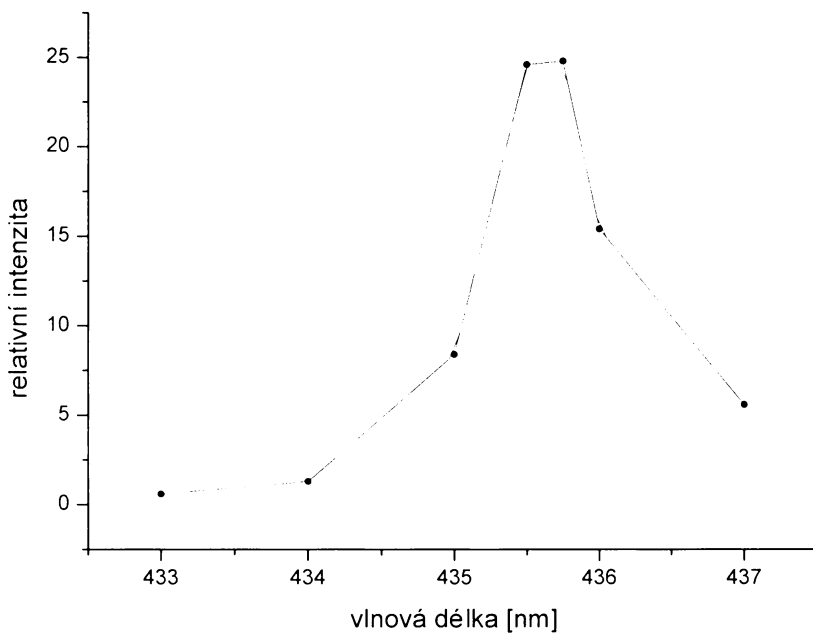
Tabulka 11 - Proměřená vybraná maxima pro rtuťovou výbojku

$\lambda$ [nm]	relativní intenzita	$\lambda$ [nm]	relativní intenzita	$\lambda$ [nm]	relativní intenzita
544	0,5	433	0,6	364	0,5
545	18,1	434	1,3	364,5	13,8
545,5	18,2	435	8,4	<b>365</b>	<b>18</b>
546	21,9	435,5	24,6	365,5	12,2
<b>546,5</b>	<b>25,6</b>	<b>435,75</b>	<b>24,8</b>	366	6,3
547	20,8	436	15,4		
547,5	19,0	437	5,6		
548	11,4				

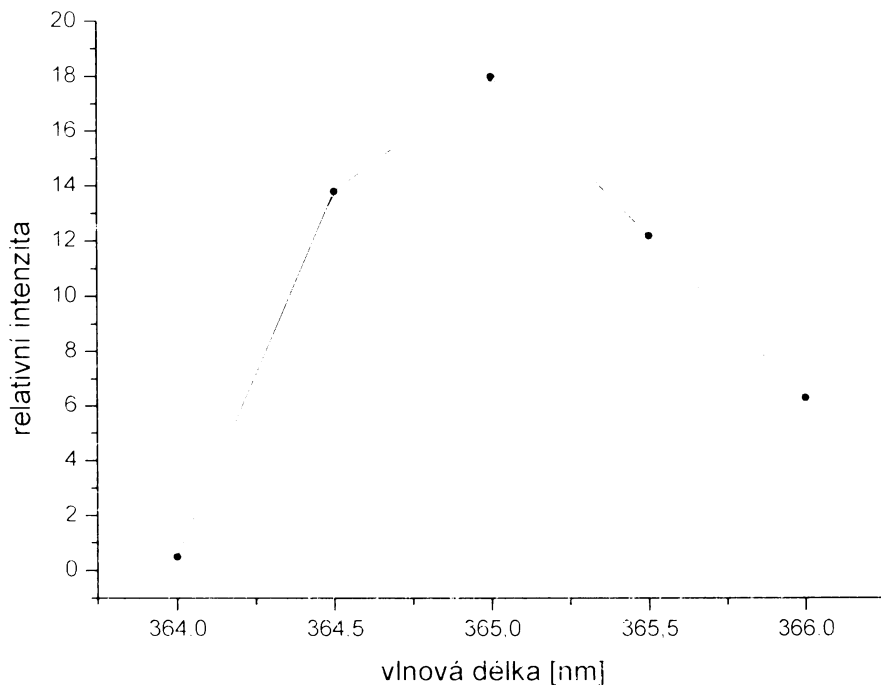
Naměřená poloha maxim pro rtuťovou výbojku se lišila od teoretických pozic v povolených mezích (rozdíl nepřesáhl v žádném z případů 0,5 mm). Hodnoty naměřené relativní intenzity při daných vlnových délkách a tvar maxim je znázorněna na obr. 7 - 9 (spojnice experimentálních bodů pouze usnadňuje "čtení" obrázků).



Obr. 7 - Závislost relativní intenzity rtuťové výbojky na vlnové délce pro emisní čáru 546,07 nm



Obr. 8 - Závislost relativní intenzity rtuťové výbojky pro emisní čáru 435,83 nm



Obr. 9 - Závislost relativní intenzity rtuťové výbojky pro emisní čáru 365,50 nm

Další kontrola vlnové délky byla provedena opětovným přeměřením maxim pro holmiiový a didymiový filtr. Naměřené hodnoty jsou v tabulkách 12 - 15.

Tabulka 12 - Absorpční maxima pro holmiiový filtr ( $454\text{ nm}$  a  $461\text{ nm}$ )

$\lambda$ [nm]	A	$\lambda$ [nm]	A
448	0,720	456	0,599
450	0,749	457	0,485
451	0,577	458	0,494
452	0,607	459	0,699
453	0,745	460	0,905
454	0,854	<b>461</b>	<b>0,913</b>
<b>455</b>	<b>0,762</b>	462	0,734

Tabulka 13 - Absorpční maxima pro holmiový filtr ( 536 nm)

$\lambda$ [nm]	A	$\lambda$ [nm]	A
525	0,054	534	0,235
527	0,059	535	0,291
529	0,066	<b>536</b>	<b>0,322</b>
530	0,071	537	0,320
531	0,080	538	0,291
532	0,101	540	0,205
533	0,167		

Tabulka 14 - Absorpční maxima pro didymiový filtr ( 741 nm a 748 nm)

$\lambda$ [nm]	A	$\lambda$ [nm]	A
738	0,214	746	0,243
739	0,221	747	0,232
740	0,226	<b>748</b>	<b>0,249</b>
<b>741</b>	<b>0,239</b>	750	0,248
742	0,236	752	0,245
744	0,234	754	0,240

Tabulka 15 - Absorpční maxima pro didymiový filtr ( 573 nm)

$\lambda$ [nm]	A	$\lambda$ [nm]	A
570	0,600	<b>573</b>	<b>0,932</b>
571	0,833	574	0,887
572	0,923	576	0,819

Jak je vidět z tabulek 12 - 15, hodnota naměřené absorbance se v rámci přesnosti nastavení vlnových délek neliší. Jen u holmiového píku je pro jedno maximum posunuta o 1 nm od udávaných hodnot, což je povolená tolerance.

### 3.4 Kontrola přepočtu transmitance na absorbanci

Cílem této kontroly bylo zjistit, zda správně pracuje přepočítávací obvod přístroje MOM 195D pro přepočet transmitancí na absorbance. Pomocí knoflíku 100 % T byly nastaveny náhodné hodnoty transmitance a k nim proměřeny absorbance. Nejprve bylo měřeno ihned po nastavení přístroje podle návodu [12]. Podstatou této operace je nastavení správných hodnot absorbance ve dvou bodech 0,1 A a 1 A pomocí korekčních potenciometru. Měření bylo provedeno 5x. Výsledky měření a relativní chyby v procentech jsou v tabulkách 16-20. V tabulce 21 jsou průměrné hodnoty naměřených absorbancí a chyb přístroje z těchto pěti měření. Průměrné hodnoty z těchto měření jsou vyneseny do grafu na obr. 10 proti logaritmu nastavené transmitance.

**Tabulka 16 - Absorbance a chyby pro měření č. 1**

T [%]	numericky spočítaná absorbance	naměřená absorbance	chyba měření [%]
2,5	1,602	1,650	3,00
5,1	1,292	1,309	1,32
6,1	1,215	1,226	0,91
9,8	1,009	1,008	0,10
15,2	0,818	0,812	0,73
22,3	0,652	0,643	1,38
26,0	0,585	0,577	1,37
33,5	0,475	0,467	1,68
40,7	0,390	0,384	1,54
55,8	0,253	0,249	1,58
62,5	0,204	0,200	1,96
70,4	0,152	0,149	1,97
75,8	0,120	0,118	1,67
85,7	0,067	0,064	4,48
98,8	0,005	0,003	40,00

**Tabulka 17 - Absorbance a chyby pro měření č. 2**

T [%]	numericky spočítaná absorbance	naměřená absorbance	chyba měření [%]
2,5	1,602	1,659	3,56
5,1	1,292	1,312	1,55
6,1	1,215	1,225	0,82
9,8	1,009	1,003	0,60
15,2	0,818	0,815	0,37
22,3	0,652	0,644	1,23
26,0	0,585	0,578	1,20
33,5	0,475	0,468	1,47
40,7	0,390	0,385	1,28
55,8	0,253	0,249	1,58
62,5	0,204	0,200	1,96
70,4	0,152	0,150	1,32
75,8	0,120	0,118	1,67
85,7	0,067	0,064	4,50
98,8	0,005	0,003	40,00

**Tabulka 18 - Absorbance a chyby pro měření č. 3**

T [%]	numericky spočítaná absorbance	naměřená absorbance	chyba měření [%]
2,5	1,602	1,663	3,81
5,1	1,292	1,313	1,63
6,1	1,215	1,231	1,32
9,8	1,009	1,008	0,10
15,2	0,818	0,815	0,37
22,3	0,652	0,645	1,07
26,0	0,585	0,578	1,20
33,5	0,475	0,469	1,26
40,7	0,390	0,385	1,28
55,8	0,253	0,250	1,19
62,5	0,204	0,201	1,47
70,4	0,152	0,150	1,32
75,8	0,120	0,118	1,67
85,7	0,067	0,064	4,48
98,8	0,005	0,004	20,00

**Tabulka 19 - Absorbance a chyby pro měření č. 4**

T [%]	numericky spočítaná absorbance	naměřená absorbance	chyba měření [%]
2,5	1,602	1,667	4,06
5,1	1,292	1,310	1,39
6,1	1,215	1,229	1,15
9,8	1,009	1,004	0,50
15,2	0,818	0,813	0,61
22,3	0,652	0,643	1,38
26,0	0,585	0,575	1,71
33,5	0,475	0,468	1,47
40,7	0,390	0,384	1,54
55,8	0,253	0,251	0,79
62,5	0,204	0,201	1,47
70,4	0,152	0,152	0,00
75,8	0,120	0,120	0,00
85,7	0,067	0,067	0,00
98,8	0,005	0,005	0,00

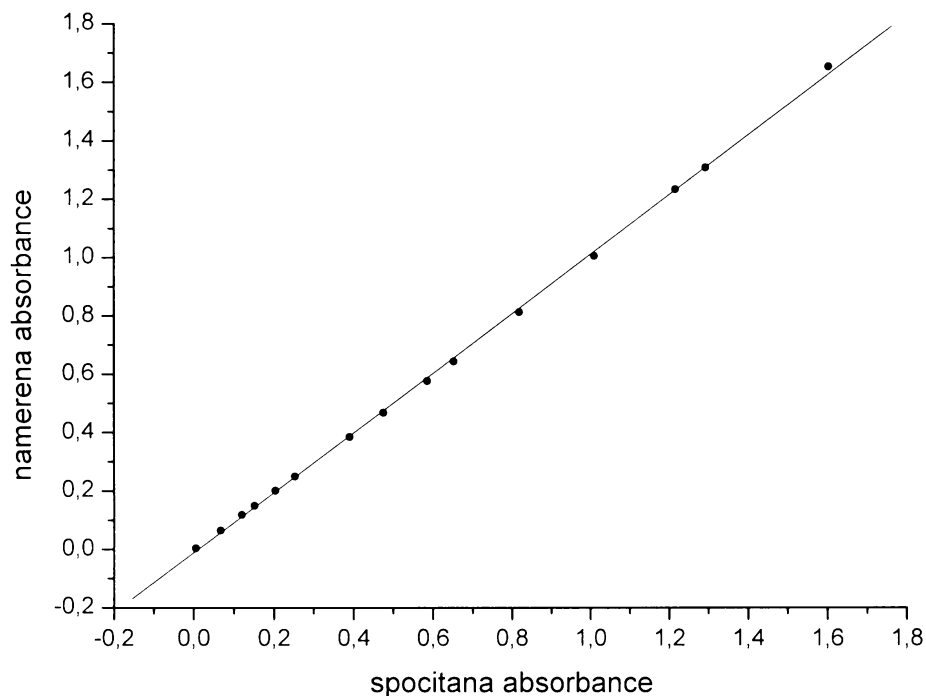
**Tabulka 20 - Absorbance a chyby pro měření č. 5**

T [%]	numericky spočítaná absorbance	naměřená absorbance	chyba měření [%]
2,5	1,602	1,662	3,75
5,1	1,292	1,306	1,08
6,1	1,215	1,226	0,91
9,8	1,009	1,006	0,30
15,2	0,818	0,812	0,73
22,3	0,652	0,644	1,23
26,0	0,585	0,577	1,37
33,5	0,475	0,468	1,47
40,7	0,390	0,385	1,28
55,8	0,253	0,250	1,19
62,5	0,204	0,201	1,47
70,4	0,152	0,151	0,66
75,8	0,120	0,120	0,00
85,7	0,067	0,067	0,00
98,8	0,005	0,005	0,00

**Tabulka 21 - Průměrné hodnoty absorbancí a chyb měření z pěti měření**

T [%]	numericky spočítaná absorbance	naměřená absorbance	průměrná chyba měření [%]
2,5	1,602	1,654	3,25
5,1	1,292	1,310	1,39
6,1	1,215	1,235	1,65
9,8	1,009	1,006	0,30
15,2	0,818	0,813	0,61
22,3	0,652	0,644	1,23
26,0	0,585	0,577	1,37
33,5	0,475	0,468	1,47
40,7	0,390	0,385	1,28
55,8	0,253	0,250	1,19
62,5	0,204	0,201	1,47
70,4	0,152	0,150	1,32
75,8	0,120	0,119	0,83
85,7	0,067	0,065	2,99
98,8	0,005	0,004	20,0

Z tabulek 16-20 je patrné, že přepočítávací obvod přístroje ihned po nastavení (dle návodu) pracuje bez větších chyb kromě hraničních oblastí (2,5 % T a 98,8 % T).



**Obr. 10 - Porovnání průměrných hodnot numericky spočítané absorbance a naměřené absorbance**

Aby byla ověřena stabilita přístroje, bylo stejné měření provedeno po 4-hodinovém chodu přístroje bez opětovného nastavení. V tabulce 22 jsou naměřené absorbance s chybou měření přístroje.

**Tabulka 22 - Hodnoty absorbancí a chyb měření přístroje po 4-hodinovém chodu**

T [%]	numericky spočítaná transmitance	naměřená absorbance	chyba měření [%]
2,5	1,602	1,613	0,69
5,1	1,292	1,286	0,46
6,1	1,215	1,200	1,50
9,8	1,009	0,984	2,48
15,2	0,818	0,797	2,57
22,3	0,652	0,613	5,99
26,0	0,585	0,566	3,25
33,5	0,475	0,459	3,37
40,7	0,390	0,376	2,59
55,8	0,253	0,243	3,95
62,5	0,204	0,195	4,41
70,4	0,152	0,152	0,00
75,8	0,120	0,120	0,00
85,7	0,067	0,067	0,00
98,8	0,005	0,005	0,00

Porovnáním výsledků z tabulek 21 a 22 je vidět, že se kvalita přepočtu značně zhoršila, pokud se na něm měřilo po 4-hodinovém chodu bez toho, aby byl znovu nastaven. Nejvýraznější je tento efekt pro často měřené hodnoty (absorbance 0,2 – 1). Výsledky ukazují, že přístroj přepočítává transmitance na absorbance bez větších chyb, ale vyžaduje vždy opětovné nastavení.

## **4. Souhrn**

Pomocí didymiového a holmiového filtru a rtuťové výbojky byla prověřena správnost nastavení vlnové délky MOM 195 D a bylo zjištěno, že hodnoty byly o 3 až 4 nm nižší. Modifikovaného postupu doporučeného výrobecem byla provedena justace vlnové délky a funkčnost přístroje byla znova ověřena. Bylo dosaženo přesnosti lepší než 1 nm.

V rozsahu  $2,5 \% T - 98,8 \% T$  byla proměřena linearita funkce přepočítávacího obvodu a střednědobá stabilita přístroje po dobu cca 4 hodin. Bylo zjištěno, že bezprostředně po nastavení je linearita přepočítávání velmi dobrá a relativní chyba je menší než 2 % (s výjimkou nízkých a vysokých absorbancí). Avšak po delší prodlevě po nastavení přístroje a vlastním měřením se kvalita tohoto přepočtu značně zhoršila.

## 5. Přehled použité literatury

1. Anzenbacher, P., Kovář, J.: Metody chemického výzkumu pro biochemiky, Praha, 1986
2. Owen, T.: Fundamentals of modern UV-Visible spectroscopy. A Primer., Hewlett-Packard, Germany, 1996
3. Němcová, I.; Čermáková, L.; Rychlovský, P.: Spektrometrické analytické metody I, Karolinum, Praha, 2004
4. Crooks, J. E.: The Spectrum in chemistry, Academic Press, London, 1978
5. Opekar, F.; Jelínek, I.; Rychlovský, P.; Plzák, Z.: Základní analytická chemie, Karolinum, Praha, 2003
6. Kalous, V.: Jak moderní chemie zkoumá strukturu molekul, SNTL, Praha, 1983
7. Český lékopis 1997, 1.díl, Grada Publishing, Praha, str. 117-119, 1997
8. UV/VIS Spectrophotometer Calibration Procedures, International Accreditation New Zealand, 2005
9. Hellma: Calibration Standard Catalogue. Dostupné z URL <<http://www.hellma-worldwide.com/cn/default.asp>> [cit. 15.4.2007]
10. Fundamentals of UV-visible spectroscopy, Hewlett Packard, Germany, 1998
11. Good laboratory Practice – validation of a UV-Vis spectroscopy system and method, and data quality assurance, Hewlett Packard, 1993
12. Digitaler Ultraviolett-Spektrophotometer „Spektromet 195 D“. Gebrauchsanweisung., Magyar Optikai Müvek, Budapest, (bez vročení)